

Спектроскопия фреонов: субмиллиметровый вращательный спектр молекул $C^{35}Cl_3F$ (фреон – 11) в основном колебательном состоянии

В. Г. Герасимов, С. Ф. Дюбко, В. А. Ефремов, М. Н. Ефименко, А. А. Катрич

Харьковский национальный университет,
Украина, 310077, Харьков, пл. Свободы, 4

Статья поступила в редакцию 27 июля 2000 г.

В диапазоне частот 226–360 ГГц измерены частоты 306 линий поглощения молекул $C^{35}Cl_3F$ в основном колебательном состоянии в диапазоне квантовых чисел $J = 45\div72$ и $K = 6\div65$. Измерения проведены на ЛОВ-спектрометре с синтезом частоты. Получены следующие значения молекулярных констант для описания вращательного спектра $C^{35}Cl_3F$ в основном колебательном состоянии: $B = 2465.81987$ (19) МГц, $D_J = 0.462761$ (49) кГц, $D_{JK} = -0.471272$ (93) кГц, $H_J = 0.1634$ (42) мГц, $H_{JK} = -0.585$ (11) мГц, $H_{KJ} = 0.738$ (11) мГц.

У діапазоні частот 226–360 ГГц виміряно частоти 306 ліній поглинання молекул $C^{35}Cl_3F$ в основному коливальному стані в діапазоні квантових чисел $J = 45\div72$ і $K = 6\div65$. Виміри проведено на спектрометрі із синтезом частоти. Отримано такі значення молекулярних констант для опису обертального спектра $C^{35}Cl_3F$ в основному коливальному стані: $B=2465.81987$ (19)МГц, $D_J = 0.462761$ (49) кГц, $D_{JK} = -0.471272$ (93) кГц, $H_J = 0.1634$ (42) мГц, $H_{JK} = -0.585$ (11) мГц, $H_{KJ} = 0.738$ (11) мГц.

1. Введение

Газ CCl_3F (фреон – 11) – химически инертное, слаботоксичное вещество, которое широко используется в качестве хладогента, аэрозольного пропеллена и растворителя. Наряду с другими фреонами, большое количество этого газа было выброшено в атмосферу. Роль фреонов в химии стрatosферного озона и их вклад в парниковый эффект установлены. Тревожит накопление этих газов в стратосфере, где они “живут” долгие годы, так как действует практически один слабый механизм их разрушения – фотодиссоциация под действием жесткого УФ излучения.

Поэтому актуальной является задача постоянного контроля наличия фреонов, в том числе F-11, в окружающей среде. Такие измерения ведутся в основном методами ИК излучения спектроскопии. Однако количественное описание кинетики химических реакций и теплообмена в атмосфере должно опираться на данные спектроскопического анализа с высоким разрешением вращательной структуры спектров поглощения, реально достижимым только в миллиметровом (ММ) и субмиллиметровом (СММ) диапазонах длин волн.

Хотя молекула $C^{35}Cl_3F$ – симметричный волчок, ее микроволновый спектр усложнен квадрупольной структурой, которая обусловлена наличием у всех трех атомов хлора ядерных квадруполей. Кроме того, дополнительные трудности вызваны малой величиной центробежных постоянных этой молекулы, из-за чего

слабо разрешается K -структура вращательного спектра. Тем не менее, уже выполнен ряд работ по изучению вращательного спектра этой молекулы в сантиметровом и ММ диапазонах длин волн, установлена структура молекулы [1,2]. Наиболее продвинутой можно считать, по-видимому, работу Карпентера с коллегами [3], в которой изучен ММ спектр $C^{35}Cl_3F$ в условиях, где сверхтонкая структура еще хорошо проявляется.

В ходе выполнения наших исследований спектров фреонов в СММ диапазоне длин волн мы обнаружили расхождение частот линий поглощения $C^{35}Cl_3F$, наблюдавшихся в опыте, с частотами, предсказанными с использованием констант, которые опубликованы в работе [3]. Расхождения были столь значительны, что побудили нас к пересмотру результатов этой работы.

2. Детали эксперимента

В экспериментах использован промышленный фреон – 11, представляющий собой естественную смесь изотопических разновидностей молекул CCl_3F : $C^{35}Cl_3F$ (43.1 %), $C^{35}Cl_2^{37}ClF$ (41.3 %), $C^{37}Cl_3F$ (13.2 %), $C^{37}Cl_2^{35}ClF$ (1.4 %) и $^{13}CCl_3F$ (~1 %). Молекулы с тремя атомами ^{35}Cl и ^{37}Cl – симметричные волчки, молекулы с комбинацией атомов ^{35}Cl и ^{37}Cl – слабо асимметричные волчки, спектр которых дополнительно усложнен вследствие асимметрии. В газе превалируют молекулы $C^{35}Cl_3F$. Объектом ис-

следования в этой работе является симметричный волчок – $C^{35}Cl_3F$.

Запись спектров поглощения фреона – 11 проводилась на ЛОВ-спектрометре Харьковского национального университета с синтезом частоты в диапазоне 200÷360 ГГц. Источником излучения была ЛОВ СММ диапазона, охваченная системой ФАПЧ, которая обеспечивала жесткую привязку частоты ЛОВ к частоте n -й гармоники синтезатора частоты. Синтезатор работал в ММ диапазоне частот (50÷80 ГГц) и управлялся ЭВМ по заданной программе. Детектирование сигнала осуществлялось n -InSb точечно-контактным детектором, работающим без охлаждения [4]. Применялась частотная модуляция излучения ЛОВ и синхронное детектирование сигнала поглощения. Частота модуляции составляла 5 кГц, а девиация частоты ± 150 кГц.

В выбранных участках спектра бесподстроечная запись в автоматическом режиме велась в полосах частот шириной 100÷400 МГц. При необходимости обеспечивался многократный проход одного и того же участка спектра с машинным накоплением записей спектра с целью улучшения соотношения сигнал/шум. Такая процедура оказалась очень полезной при записи малоинтенсивных линий поглощения фреона – 11, молекулы которого имеют дипольный момент $\mu_0 = 0.46$ Д. Измерения велись при давлении газа $p \sim 20$ мторр в ячейке длиной 2 м, охлаждаемой парами жидкого азота до температуры $T = 250$ К.

Типичный образец записи участка спектра для перехода $J = 60 \rightarrow J = 61$ показан на рис. 1. Сверхтонкая структура K -компонентов перехода отсутствует, видно различие интенсивностей K -компонентов, кратных и не кратных 3, обусловленное статистикой ядерных спинов атомов хлора. Последнее обстоятельство облегчает идентификацию перехода по квантовому числу K в условиях нашего эксперимента, когда при малых K линии сливаются, а при $K \rightarrow J$ тонут в шумах.

A, о.е.

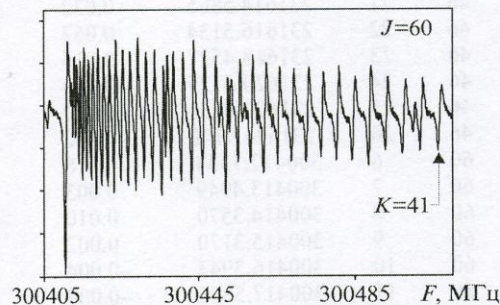


Рис. 1. Фрагмент записи спектра поглощения для перехода 60к - 61к молекул $C^{35}Cl_3F$

3. Результаты и обсуждение

Эксперимент в СММ диапазоне волн позволяет с гораздо большей точностью определить вращательные и центробежные постоянные $C^{35}Cl_3F$, так как только в СММ диапазоне длин волн практически исчезает сложная сверхтонкая структура линий поглощения ($\Delta\nu_{hfs} \sim 1/J^2$), растет их интенсивность ($\nu \sim \nu^2$), и хорошо проявляются эффекты, обусловленные нежесткостью молекулы.

Частоты линий поглощения симметричного волчка в основном колебательном состоянии могут быть вычислены с применением известного соотношения:

$$\begin{aligned} \nu = & 2B(J+1) - 4D_J(J+1)^3 - 2D_{JK}(J+1)K^2 + \\ & + 2H_J(J+1)^3(3(J+1)^2 + 1) + 4H_{JK}(J+1)^3K^2 + \\ & + 2H_{KJ}(J+1)K^4 + \dots + \Delta\nu_{hfs}, \end{aligned} \quad (1)$$

где B – вращательная постоянная; D_J , D_{JK} – центробежные постоянные второго порядка; H_J , H_{JK} , H_{KJ} – центробежные постоянные третьего порядка; $\Delta\nu_{hfs}$ – сдвиг линий, обусловленный квадрупольным расщеплением.

Постоянные B , D_J и D_{JK} были определены в работе [3] из записи спектра поглощения в ММ диапазоне длин волн при $J_{\max} = 35$. Частоты, вычисленные по этим константам, в самом деле хорошо описывают спектр в диапазоне квантовых чисел вплоть до $J \leq 35$. Однако при увеличении J , то есть при переходе в СММ диапазон длин волн, различие между измеренными значениями частот и вычисленными по данным [3] быстро растут с увеличением как J , так и K . Так, при $J = 70$ это различие превышает 3 МГц для $K = 0$ и 6 МГц для $K = 65$. Хотя центробежные константы первоначального набора D_J и D_{JK} оказываются весьма малыми, все же для адекватного описания СММ спектра понадобилось определение значений центробежных констант высших порядков H_J , H_{JK} , H_{KJ} .

Наш спектрометр позволяет измерять частоты изолированных сильных линий в СММ диапазоне длин волн с точностью до ± 5 кГц. Однако мы убедились, что "средние" частоты линий поглощения $C^{35}Cl_3F$ с неразрешенной сверхтонкой структурой измерить со столь высокой точностью невозможно. В лучшем случае в наших экспериментах точность измеренных частот лежала в пределах 20÷50 кГц. Дело в том, что хотя сверхтонкая структура и не разрешена вследствие доплеровского уширения линий, она существует и проявляется в дополнительном уширении линий поглощения, нарастающем с увеличением K . Внутри доплеровского контура линии сверхтонкой структуры

образуют четыре группы, в каждой из которых линии расположены очень близко и имеют примерно одинаковую интенсивность. Компоненты квартета для различных K расположены не строго симметрично относительно "центра тяжести" интегрального контура поглощения, фиксируемого при обработке для нахождения констант, фигурирующих в выражении (1). Это особенно заметно при измерениях в ММ диапазоне длин волн. Однако в СММ диапазоне вклад $\Delta\nu_{hfs}$ незначительный и здесь достигается хорошее согласие данных эксперимента и расчета без учета $\Delta\nu_{hfs}$. Сказанное иллюстрирует таблица 1. При обработке записей оказалось, что частоты некоторых линий (их общее число составляет менее 5 % от общего числа записанных линий поглощения) отличаются от расчетных на величину более 100 кГц. Детальное рассмотрение положения и формы контура таких линий показало, что их контур частично или полностью перекрывается с контурами линий, принадлежащих другим молекулам, либо возбужденным колебательным состояниям молекулы $C^{35}Cl_3F$. В окончательном варианте решения обратной спектроскопической задачи по определению констант такие линии не были использованы.

Результаты представлены в таблице 2. В первой колонке дан набор молекулярных констант, найденный нами и описывающий субмиллиметровый вращательный спектр $C^{35}Cl_3F$ в основном колебательном состоянии. Во второй колонке – значения B , D_J , D_{JK} , найденные авторами работы [3] из записи спектров по-

глощения $C^{35}Cl_3F$ в ММ диапазоне. Нижняя строка дает значение среднеквадратичной точности σ описания спектров в диапазоне СММ волн ($J = 45\div72$) для обоих наборов констант.

4. Заключение

В результате проведенных расчетов получен новый набор молекулярных констант, описывающий вращательный спектр $C^{35}Cl_3F$ в СММ диапазоне длин волн с экспериментальной точностью 20÷50 кГц. Для этого потребовалось уточнение уже известных констант B , D_J , D_{JK} и определение центробежных констант высшего порядка – H_J , H_{JK} , H_{KJ} . В итоге точность описания СММ вращательного спектра поглощения молекул $C^{35}Cl_3F$ повышена более чем на два порядка.

Благодарности

Это исследование выполнено при финансовой поддержке INTAS (грант UA-95-187).

Литература

1. A. A. Wolf, Q. Williams, T. L. Weatherly. J. Chem. Phys. 1967, **47**, pp. 5101-5109.
2. J. H. N. Loubser. J. Chem. Phys. 1962, **36**, pp. 2808-2809.
3. J. H. Carpenter, P. J. Seo, D. H. Whiffen. J. Molec. Spectrosc. 1987, **123**, pp. 187-196.
4. С. Ф. Дюбко, М. Н. Ефименко. Письма в ЖЭТФ. 1971, **13**, №10, с. 9-11.

Таблица 1. Измеренные (ν_{Obs}) и вычисленные (ν_{Calc}) частоты вращательных переходов молекул $C^{35}Cl_3F$ в основном колебательном состоянии (МГц)

J	K	ν_{Obs}	$\nu_{Obs-Calc}$	J	K	ν_{Obs}	$\nu_{Obs-Calc}$
45	10	226679.8035	0.033	46	19	231611.0462	0.021
45	11	226680.6401	-0.036	46	20	231612.7436	-0.002
45	12	226681.6563	-0.013	46	21	231614.5865	0.032
45	13	226682.7371	-0.011	46	22	231616.5134	0.062
45	14	226683.9029	-0.010	46	23	231618.4527	0.015
45	15	226685.1405	-0.024	46	24	231620.4725	-0.039
45	16	226686.4739	-0.029	46	25	231622.6450	-0.029
45	17	226687.9613	0.034	46	26	231624.9140	-0.012
45	18	226689.4815	0.044	60	6	300412.7334	-0.018
45	19	226691.0360	0.001	60	7	300413.4949	0.003
46	12	231601.4777	0.020	60	8	300414.3570	0.010
46	13	231602.5512	-0.008	60	9	300415.3170	0.002
46	14	231603.7862	0.037	60	10	300416.3943	-0.004
46	15	231605.0310	0.003	60	11	300417.5856	-0.009
46	16	231606.3947	0.000	60	12	300418.9081	0.003
46	17	231607.8849	0.035	60	13	300420.3292	-0.001
46	18	231609.3770	-0.017	60	14	300421.8792	0.010

60	15	300423.5210	-0.001	61	35	305392.4527	0.005
60	16	300425.2840	-0.005	61	36	305396.5550	-0.018
60	17	300427.1756	0.005	61	37	305400.8869	0.070
60	18	300429.1738	0.007	61	38	305405.1715	-0.005
60	19	300431.2766	0.000	62	19	310252.7086	0.042
60	20	300433.4955	-0.005	62	20	310254.9766	0.015
60	21	300435.8372	-0.002	62	21	310257.3622	-0.014
60	22	300438.2941	0.002	62	22	310259.8838	-0.024
60	23	300440.8539	-0.006	62	24	310265.3374	0.011
60	24	300443.5399	-0.002	62	25	310268.2756	0.063
60	25	300446.3426	0.004	62	26	310271.2321	0.015
60	26	300449.2408	-0.009	62	27	310274.4070	0.067
60	27	300452.3033	0.028	62	28	310277.5808	-0.001
60	28	300455.3986	-0.017	62	29	310280.9436	0.002
60	29	300458.6810	0.010	62	30	310284.4498	0.030
60	30	300462.0394	-0.002	62	31	310288.0418	0.025
60	31	300465.5086	-0.018	62	32	310291.7454	0.012
60	32	300469.1166	-0.010	62	33	310295.5526	-0.015
60	33	300472.8883	0.047	62	34	310299.4936	-0.027
60	34	300476.6543	-0.018	62	35	310303.6228	0.030
60	35	300480.6080	-0.009	62	36	310307.8026	0.018
60	36	300484.6794	0.002	62	37	310312.0910	-0.003
60	37	300488.8335	-0.020	62	38	310316.5510	0.027
60	38	300493.1302	-0.015	62	39	310321.1126	0.040
60	39	300497.5662	0.014	62	41	310330.5346	0.008
60	40	300502.0721	-0.002	62	42	310335.5039	0.070
60	43	300516.3180	-0.018	62	43	310340.4402	-0.020
60	44	300521.2727	-0.049	62	44	310345.6400	0.034
60	45	300526.3936	-0.029	62	47	310361.7204	-0.042
60	46	300531.6220	-0.019	62	50	310379.0076	0.008
60	47	300536.9439	-0.031	62	54	310403.6316	-0.036
60	48	300542.4137	-0.011	62	55	310410.1352	-0.001
60	49	300548.0048	0.013	63	19	315162.3100	-0.014
60	50	300553.7124	0.038	63	20	315164.6656	0.010
60	51	300559.5282	0.054	63	21	315167.0596	-0.047
60	52	300565.4433	0.052	63	22	315169.6848	0.007
60	56	300590.2252	-0.001	63	23	315172.3644	-0.005
61	8	305325.0687	-0.043	63	25	315178.1300	0.018
61	9	305326.0915	-0.004	63	26	315181.1504	-0.013
61	10	305327.1841	-0.011	63	28	315187.6116	-0.015
61	11	305328.4046	-0.007	63	29	315191.0604	0.021
61	12	305329.7347	-0.009	63	30	315194.5224	-0.049
61	13	305331.1727	-0.018	63	31	315198.2448	0.020
61	14	305332.7544	0.000	63	32	315202.0040	0.006
61	15	305334.4272	-0.007	63	33	315205.8852	-0.007
61	16	305336.2283	-0.002	63	34	315209.9664	0.059
61	17	305338.1370	-0.005	63	36	315218.2996	0.001
61	18	305340.1716	0.002	63	37	315222.7402	0.064
61	20	305344.5771	0.004	63	38	315227.1364	-0.038
61	21	305346.9393	-0.010	63	43	315251.4320	-0.051
61	22	305349.4415	-0.001	63	45	315262.0572	0.001
61	23	305352.0521	0.001	64	13	320059.5985	-0.027
61	24	305354.7737	-0.002	64	14	320061.2485	-0.015
61	25	305357.6561	0.038	64	15	320062.9996	-0.023
61	26	305360.5772	0.002	64	17	320066.9087	0.003
61	28	305366.8283	-0.013	64	18	320069.0444	0.014
61	29	305370.1194	-0.029	64	19	320071.2964	0.021
61	31	305377.1410	0.027	64	20	320073.6686	0.026
61	32	305380.7876	0.015	64	21	320076.1519	0.020
61	33	305384.5612	0.014	64	22	320078.7444	0.002

64	23	320081.4791	0.005	65	56	325151.2695	0.052
64	24	320084.3358	0.007	67	13	334781.6076	-0.003
64	25	320087.3244	0.019	67	14	334783.3405	0.018
64	26	320090.4117	0.009	67	15	334785.1575	-0.004
64	29	320100.4062	-0.024	67	16	334787.1215	-0.005
64	31	320107.7540	0.029	67	17	334789.2196	0.000
64	32	320111.5146	-0.042	67	18	334791.4156	-0.023
64	37	320132.5533	0.002	67	19	334793.8180	0.032
64	38	320137.0796	-0.038	67	20	334796.2657	0.006
64	39	320141.8276	0.020	67	21	334798.8749	0.014
64	40	320146.6578	0.037	67	22	334801.5891	0.000
64	41	320151.5775	0.021	67	23	334804.4698	0.025
64	44	320167.0689	-0.035	67	24	334807.4257	-0.002
64	46	320178.0792	-0.007	67	25	334810.5385	0.000
64	48	320189.5290	-0.034	67	26	334813.8034	0.027
65	7	324960.2975	-0.001	67	28	334820.7003	0.066
65	8	324961.2221	0.000	67	29	334824.2893	0.034
65	9	324962.2572	-0.011	70	6	349488.0438	-0.017
65	10	324963.4281	-0.010	70	7	349488.9509	0.031
65	11	324964.7269	-0.003	70	8	349489.8778	-0.034
65	12	324966.1435	-0.003	70	9	349491.0263	-0.009
65	13	324967.6874	0.002	70	10	349492.2730	-0.018
65	14	324969.3531	0.005	70	11	349493.6665	-0.013
65	15	324971.1374	0.004	70	12	349495.1839	-0.016
65	16	324973.0488	0.006	70	13	349496.8410	-0.012
65	17	324975.1014	0.026	70	14	349498.6209	-0.017
65	18	324977.2169	-0.014	70	15	349500.5523	-0.004
65	19	324979.5033	-0.007	70	16	349502.5861	-0.020
65	20	324981.9168	0.004	70	17	349504.7544	-0.034
65	21	324984.4422	0.003	70	18	349507.1010	-0.003
65	22	324987.1462	0.057	70	19	349509.5446	-0.007
65	23	324989.8505	-0.012	70	20	349512.1139	-0.018
65	24	324992.7628	0.003	70	22	349517.6801	-0.011
65	25	324995.7831	0.002	70	23	349520.6753	0.006
65	26	324998.9154	-0.010	70	24	349523.8055	0.025
65	28	325005.6128	0.026	70	25	349526.9871	-0.038
65	29	325009.1336	0.030	70	26	349530.3772	-0.025
65	30	325012.7102	-0.034	70	27	349533.9308	0.018
65	31	325016.4817	-0.027	70	28	349537.5824	0.027
65	32	325020.3571	-0.041	70	29	349541.3063	-0.026
65	33	325024.3782	-0.033	70	30	349545.2123	-0.030
65	34	325028.5170	-0.032	70	31	349549.3443	0.059
65	35	325032.7960	-0.015	70	32	349553.4262	-0.035
65	36	325037.1453	-0.052	70	34	349562.2541	0.039
65	37	325041.7764	0.068	70	35	349566.7389	-0.053
65	38	325046.3429	-0.001	70	36	349571.4885	-0.014
65	40	325056.0048	0.015	70	37	349576.3392	-0.008
65	41	325061.0035	0.004	70	38	349581.3645	0.039
65	42	325066.0618	-0.073	70	39	349586.4008	-0.037
65	44	325076.7823	0.001	70	40	349591.7019	0.018
65	45	325082.3367	0.044	70	41	349597.0654	0.001
65	47	325093.6228	-0.068	70	42	349602.6212	0.042
65	48	325099.6245	0.046	70	43	349608.2051	-0.024
65	49	325105.6010	0.009	70	44	349614.0107	-0.002
65	50	325111.7226	-0.009	70	45	349619.9433	0.012
65	51	325117.9441	-0.052	70	46	349625.9904	0.006
65	52	325124.4061	0.018	70	47	349632.1816	0.009
65	53	325130.9545	0.049	70	48	349638.4800	-0.015
65	54	325137.5493	0.000	70	49	349644.9392	-0.014
65	55	325144.2502	-0.070	70	50	349651.5644	0.018

70	51	349658.2819	0.007	72	14	359304.9769	0.019
70	52	349665.1100	-0.029	72	16	359309.0285	-0.006
70	53	349672.1327	-0.005	72	17	359311.2778	0.001
70	54	349679.2530	-0.020	72	18	359313.6697	0.014
70	55	349686.4946	-0.050	72	19	359316.1261	-0.045
70	56	349693.9302	-0.021	72	21	359321.5578	-0.052
70	57	349701.5521	0.058	72	22	359324.5716	0.038
70	58	349709.2347	0.061	72	23	359327.6196	0.026
70	59	349716.9251	-0.064	72	25	359334.1616	0.038
70	60	349724.9009	-0.041	72	26	359337.5852	-0.008
70	62	349741.2732	0.017	72	29	359348.8049	-0.018
70	63	349749.6698	0.051	72	30	359352.8587	0.019
70	65	349766.7726	0.016	72	31	359357.0052	0.011
72	11	359299.9063	0.043	72	32	359361.3133	0.028
72	12	359301.4450	0.020	72	33	359365.6765	-0.036
72	13	359303.1412	0.017	72	34	359370.2537	-0.024

Таблица 2. Спектроскопические константы для основного колебательного состояния молекулы C³⁵Cl₃F

Параметры	Наши данные	Carpenter et al. [3]
B , МГц	2465.81987 (19)	2465.82246(38)
D_J , кГц	0.462761 (49)	0.46382(20)
D_{JK} , кГц	-0.471272 (93)	-0.46356(122)
H_J , мГц	0.1634(42)	-
H_{JK} , мГц	-0.585 (11)	-
H_{KJ} , мГц	0.738 (11)	-
σ , МГц	0.0271	2.6926

Spectroscopy of Freons: Submillimeter-wave Rotational Spectrum of C³⁵Cl₃F Molecule (Freon -11) in the Ground Vibrational State.

V. G. Gerasimov, S. F. Dyubko, V. A. Efremov,
M. N. Efimenko, A. A. Katrich

In the frequency range between 226 and 360 GHz the frequencies of the 306 absorption lines of the C³⁵Cl₃F molecule in the ground vibrational state were measured. These lines belong to the

rotational transitions with quantum numbers $J=45\div72$ and $K=6\div65$. The measurements were carried out on a frequency synthesizer using a BWO as a source of submillimeter-wave radiation. As a result we have obtained the following set of rotational parameters for the ground state rotational spectrum of the C³⁵Cl₃F molecule: $B=2465.81987$ (19) MHz, $D_J=0.462761$ (49) kHz, $D_{JK}=-0.471272$ (93) kHz, $H_J=0.1634$ (42) mHz, $H_{JK}=-0.585$ (11) mHz, $H_{KJ}=0.738$ (11) mHz.